

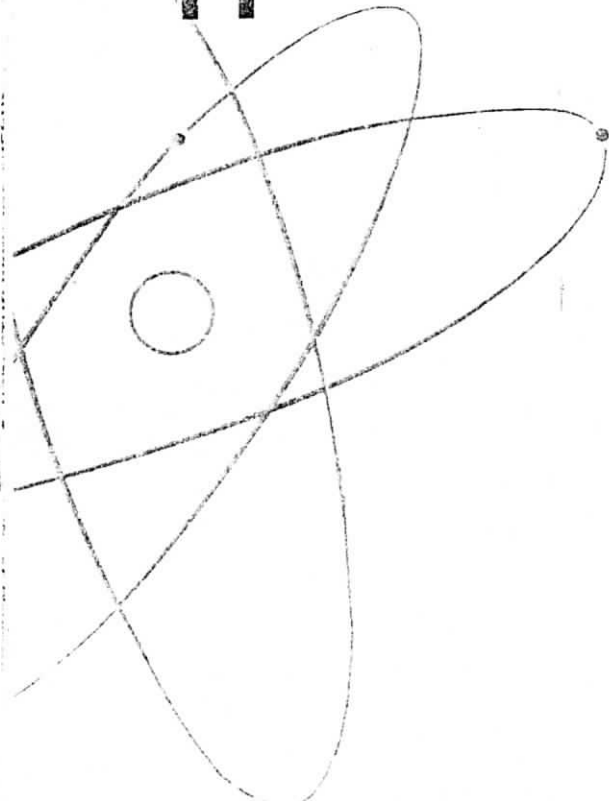
186 186

ISSN 0021-3470



ИЗВЕСТИЯ
ВЫСШИХ УЧЕБНЫХ
ЗАВЕДЕНИЙ

РАДИОЭЛЕКТРОНИКА



том 42

5-6

ИЗДАНИЕ
НАЦИОНАЛЬНОГО
ТЕХНИЧЕСКОГО
УНИВЕРСИТЕТА
УКРАИНЫ
«КИЕВСКИЙ
ПОЛИТЕХНИЧЕСКИЙ
ИНСТИТУТ»

1999

3/4

ТРИФОНОВ А. И., ПАРФЕНОВ В. И.

ОЦЕНКА ДЛЯТЕЛЬНОСТИ СЛУЧАЙНОГО РАДИОСИГНАЛА ПРИ НАЛИЧИИ ПОМЕХИ С НЕИЗВЕСТНОЙ ИНТЕНСИВНОСТЬЮ*

Найдены структура и характеристики квазиоптимальных и максимально правдоподобных алгоритмов оценки длительности случайного радиосигнала при воздействии внутренних и внешних помех с неизвестными интенсивностями

В [1] рассмотрена оценка длительности квазидетерминированного радиосигнала на фоне гауссовского белого шума. Проходя через каналы с мультиплексивными помехами, такой радиосигнал обычно трансформируется в узкополосный случайный процесс [2]. Задачи оценки длительности случайного процесса с известной и неизвестной интенсивностью рассмотрены в [3, 4]. Однако как в [1], так и в [3, 4], учитывалась помеха лишь в виде гауссовского белого шума, который является достаточно хорошей аппроксимацией собственных шумов приемного устройства. В реальных условиях функционирования радиоэлектронных систем достаточно часто, помимо собственных шумов, полезный сигнал искажается аддитивной внешней помехой с неизвестной в общем случае интенсивностью. Примерами таких помех могут служить внешняя непреднамеренная (взаимная) помеха, прошедшая через входной фильтр (преселектор) радиоэлектронной системы, или преднамеренная заградительная шумовая помеха [5]. В связи с чем представляет интерес исследование влияния внешней помехи на эффективность оценки неизвестной длительности случайного радиосигнала.

Положим, в отличие от [3, 4], что на интервале времени $[0; T]$ наблюдается реализация случайного процесса

$$x(t) = s(t, \tau_0) + n(t) + v(t), \quad (1)$$

где $s(t, \tau_0) = \xi(t) I[(t - \tau_0 / 2) / \tau_0]$ — отрезок длительностью τ_0 узкополосного центрированного гауссовского процесса $\xi(t)$, спектр мощности которого записем как [6]

$$G_\xi(\omega) = \frac{\gamma_a}{2} \left[I\left(\frac{\Theta_s - \omega}{\Omega_s}\right) + I\left(\frac{\Theta_s + \omega}{\Omega_s}\right) \right], \quad (2)$$

* Приведенные результаты получены при поддержке Российского фонда фундаментальных исследований.

где $I(x) = 1$ при $|x| < 1/2$, $I(x) = 0$, при $|x| > 1/2$; Θ_s и Ω_s — центральная частота и ширина полосы частот процесса $\xi(t)$. Аналогично [3, 4], аддитивную помеху $n(t)$ будем считать гауссовским белым шумом с односторонней спектральной плотностью N_0 . В качестве модели внешней помехи $v(t)$ выберем стационарный центрированный гауссовский случайный процесс, обладающий спектром мощности [5, 6]

$$G_v(\omega) = \frac{\Gamma_0}{2} \left[I\left(\frac{\Theta_N - \omega}{\Omega_N}\right) + I\left(\frac{\Theta_N + \omega}{\Omega_N}\right) \right]. \quad (3)$$

Ширина полосы частот Ω_N процесса $v(t)$ такова, что $\Omega_N > \Omega_s$, а центральная частота Θ_N удовлетворяет соотношению $|\Theta_s - \Theta_N| < (\Omega_N - \Omega_s)/2$. В этих условиях спектр мощности внешней помехи (3) полностью перекрывает спектр мощности сигнала (2). Кроме того, будем считать, что процессы $s(t, \tau_0)$, $n(t)$ и $v(t)$ статистически независимы.

По наблюдаемой реализации (1) необходимо оценить длительность τ_0 случайного сигнала $s(t, \tau_0)$. Спектральные плотности сигнала γ_0 и внешней помехи Γ_0 в общем случае неизвестны. Пусть неизвестная длительность τ_0 принимает значения из априорного интервала $[T_1; T_2]$, а границы интервала наблюдения таковы, что $0 < T_1 < T_2 \leq T$, т. е. случайный импульс $s(t, \tau_0)$ всегда находится внутри интервала наблюдения. Будем также предполагать, что наименьшее возможное значение длительности сигнала T_1 существенно превосходит время корреляции случайного процесса $\xi(t)$, т. е. выполняется условие

$$\mu_{\min} = \Omega_s T_1 / 2\pi \gg 1. \quad (4)$$

Для оценки длительности сигнала можно использовать измеритель, рассмотренный в [4] и синтезированный для помехи в виде гауссовского белого шума с известным значением спектральной плотности. В этом случае получаем оценку

$$\tau^* = \arg \sup L_1(\tau), \quad \tau \in [T_1; T_2].$$

$$L_1(\tau) = \frac{1}{N_0} \int_0^\tau y_s^2(t) dt - \frac{\tau \Omega_s}{2\pi} \left\{ 1 + \ln \left[\frac{2\pi}{\tau \Omega_s N_0} \int_0^\tau y_s^2(t) dt \right] \right\}. \quad (5)$$

Здесь $y_s(t)$ — отклик фильтра с передаточной функцией $H_s(\omega)$ на реализацию наблюдаемых данных $x(t)$. Причем, $|H_s(\omega)|^2 = I[(\Theta_s - \omega)/\Omega_s] + I[(\Theta_s + \omega)/\Omega_s]$.

Найдем характеристики оценки (5). С этой целью представим функцию

$$J_s(\tau) = \frac{2\pi}{N_0 \tau \Omega_s} \int_0^\tau y_s^2(t) dt \quad (6)$$

в виде суммы сигнальной и шумовой функций [1] $J_s(\tau) = S_J(\tau) + N_J(\tau)$, где сигнальная функция

$$S_J(\tau) = \langle J_s(\tau) \rangle = 1 + Q_0 + q_0 \min(\tau, \tau_0) / \tau, \quad (7)$$

а корреляционная функция шумовой функции $N_J(\tau) = J_s(\tau) - \langle J_s(\tau) \rangle$ имеет вид

$$\begin{aligned} \langle N_J(\tau_1) N_J(\tau_2) \rangle &= 2\pi \left\{ (1 + Q_0)^2 \min(\tau_1, \tau_2) + \right. \\ &\quad \left. + (q_0^2 + 2q_0 Q_0) \min(\tau_1, \tau_2, \tau_0) \right\} / \Omega_s \tau_1 \tau_2. \end{aligned} \quad (8)$$

В (7), (8) обозначено: $q_0 = \gamma_0 / N_0$, $Q_0 = \Gamma_0 / N_0$ — отношения истинных значений спектральных плотностей случайного радиосигнала и внешней помехи к спектральной плотности белого шума соответственно. Введем в рассмотрение величину $\varepsilon = 1 / \mu_{\min}$, которая при выполнении (4) является малым параметром. Тогда функция (5) запишется как

$$\begin{aligned} L_1(\tau) &= \tau \Omega_s \{ J_s(\tau) - 1 - \ln J_s(\tau) \} / 2\pi = \\ &= \tau \Omega_s \{ S_J(\tau) + \varepsilon N_0(\tau) - 1 - \ln [S_J(\tau) + \varepsilon N_0(\tau)] \} / 2\pi, \end{aligned} \quad (9)$$

где $N_0(\tau) = N_J(\tau) \sqrt{\mu_{\min}}$, причем $\langle N_0^2(\tau_0) \rangle = (1 + q_0 + Q_0)^2$ и ограничено при любых ε . Разложим (9) в ряд Маклорена по малому параметру ε и ограничимся первым ненулевым членом этого разложения, зависящим от реализации наблюдаемых данных. В результате получаем

$$L_1(\tau) \approx S_1(\tau) + N_1(\tau), \quad (10)$$

где

$$\begin{aligned} S_1(\tau) &= \tau \Omega_s [S_J(\tau) - 1 - \ln S_J(\tau)] / 2\pi = \\ &= \tau \Omega_s \{ Q_0 + q_0 \min(\tau, \tau_0) / \tau - \ln [1 + Q_0 + q_0 \min(\tau, \tau_0) / \tau] \} / 2\pi, \end{aligned} \quad (11)$$

а корреляционная функция шумовой функции $N_1(\tau) = L_1(\tau) - \langle L_1(\tau) \rangle$ имеет вид

$$\langle N_1(\tau_1) N_1(\tau_2) \rangle = \Omega_s \{ (1 + Q_0)^2 \min(\tau_1, \tau_2) +$$

$$\begin{aligned}
& + (q_0^2 + 2q_0 + 2q_0 Q_0) \min(\tau_1, \tau_2, \tau_0) \} \times \{ Q_0 + q_0 \min(\tau_1, \tau_0) / \tau_1 \} \times \\
& \times \{ Q_0 + q_0 \min(\tau_2, \tau_0) / \tau_2 \} \times \{ 1 + Q_0 + q_0 \min(\tau_1, \tau_0) / \tau_1 \}^{-1} \times \\
& \times \{ 1 + Q_0 + q_0 \min(\tau_2, \tau_0) / \tau_2 \}^{-1}. \quad (12)
\end{aligned}$$

Для того, чтобы алгоритм оценивания (5) был работоспособен, т. е. получаемая оценка была состоятельна, необходимо, чтобы сигнальная функция (11) достигала максимума при $\tau = \tau_0$. Для этого требуется выполнение условия $\psi_1(q_0) = \ln(1 + q_0 + Q_0) - Q_0 - q_0 / (1 + q_0 + Q_0) > 0$. Обозначим q_0^* — решение уравнения $\psi_1(q_0^*) = 0$. На рис. 1 сплошной линией нанесена зависимость $q_0^*(Q_0)$, иллюстрирующая границы работоспособности алгоритма (5). Алгоритм (5) работоспособен, если $q_0 > q_0^*$, что соответствует области над сплошной кривой (рис. 1), при этом $\max S_1(\tau) = S_1(\tau)$.

Введем в рассмотрение выходное отношение сигнал/шум (ОСШ) [7]

$$z^2 = S_1^2(\tau_0) / \langle N_1^2(\tau) \rangle = \mu_{\min}(\tau_0 / \tau_1) [q_0 + Q_0 - \ln(1 + q_0 + Q_0)]^2 (q_0 + Q_0)^{-2}.$$

Очевидно, при $q_0 > 0, Q_0 > 0$ и $\mu_{\min} \rightarrow \infty$ ОСШ $z^2 \rightarrow \infty$. Известно [7], что при $z \rightarrow \infty$ оценка $\tau^* \rightarrow \tau_0$ в среднеквадратическом. Поэтому при больших z достаточно исследовать поведение $L_1(\tau)$ (10) в малой окрестности точки τ_0 . При выполнении условия

$$\Delta = \max \{ |\tau - \tau_0|, |\tau_1 - \tau_2|, |\tau_1 - \tau_0|, |\tau_2 - \tau_0| \} \rightarrow 0 \quad (13)$$

разложим функции (11), (12) в ряд по Δ . В этом случае главные члены разложения будут кусочно-дифференцируемыми. Аналогично [8] можно показать, что $L_1(\tau)$ (10) при $\Delta \rightarrow 0$ и $\mu_{\min} \rightarrow \infty$ является асимптотически гауссовским марковским процессом с коэффициентами сноса и диффузии вида

$$K_1[L_1] = \begin{cases} k_{1s}, T_1 \leq \tau \leq \tau_0, \\ -k_{2s}, \tau_0 < \tau \leq T_2, \end{cases} \quad K_2[L_1] = \begin{cases} k_{1N}, T_1 \leq \tau \leq \tau_0, \\ k_{2N}, \tau_0 < \tau \leq T_2, \end{cases} \quad (14)$$

где

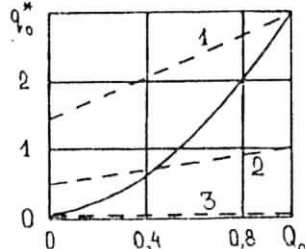


Рис. 1

$$\begin{aligned}
k_{1s} &= \Omega_s [q_0 + Q_0 - \ln(1 + q_0 + Q_0)] / 2\pi, \quad k_{1N} = \Omega_s (q_0 + Q_0)^2 / 2\pi, \\
k_{2s} &= \Omega_s [\ln(1 + q_0 + Q_0) - Q_0 - q_0 / (1 + q_0 + Q_0)] / 2\pi, \\
k_{2N} &= \Omega_s (1 + Q_0)^2 (q_0 + Q_0)^2 / (1 + q_0 + Q_0)^2 2\pi. \tag{15}
\end{aligned}$$

* Характеристики оценки длительности (5) можно найти, используя метод локально-марковской аппроксимации [1]. Решая уравнение Фоккера-Планка-Колмогорова [6, 8] с коэффициентами (14), (15) и соответствующими начальными и граничными условиями, аналогично [1], получаем выражения для смещения (систематической ошибки) и рассеяния (среднего квадрата ошибки) оценки τ^* :

$$\begin{aligned}
d(\tau^*) &= <\tau^* - \tau_0> = \frac{T_1}{\mu_{\min}} \frac{z_1^2(1+2R) - z_1^2 R (R+2)}{2z_1^2 z_2^2 (1+R)^2}, \\
V(\tau^*) &= <(\tau^* - \tau_0)^2> = \frac{T_1^2}{\mu_{\min}^2} \frac{z_1^4(5R^2+6R+2) + z_2^4 R (2R^2+6R+5)}{2z_1^4 z_2^4 (1+R)^2}, \tag{16}
\end{aligned}$$

где

$$\begin{aligned}
z_1^2 &= [1 - \ln(1 + q_0 + Q_0) / (q_0 + Q_0)]^2, \\
z_2^2 &= [(1 + q_0 + Q_0) \ln(1 + q_0 + Q_0) / (1 + Q_0) (q_0 + Q_0) - 1]^2, \\
R &= [1 + q_0 / (1 + Q_0)] [(1 + q_0 + Q_0) \ln(1 + q_0 + Q_0) - (1 + Q_0) (q_0 + Q_0)] \times \\
&\quad \times [q_0 + Q_0 - \ln(1 + q_0 + Q_0)]^{-1} (1 + Q_0)^{-1}. \tag{17}
\end{aligned}$$

Формулы (16) являются асимптотически точными при $\mu_{\min} \rightarrow \infty$.

Полагая в (16), (17) $Q_0 = 0$, приходим к найденным в [4] выражениям для характеристик оценки длительности случайного радиосигнала в отсутствие внешней помехи $v(t)$.

Количественно охарактеризовать проигрыш в точности измерения из-за наличия внешней помехи можно отношением $\rho_1 = V(\tau^*) / V_0$. Здесь $V_0 = V(\tau^*) \Big|_{Q_0=0}$ — рассеяние оценки (5) в отсутствие внешней помехи [4]. На рис. 2 сплошными линиями нанесены зависимости $\rho_1(Q_0)$, рассчитанные по формулам (16), (17). Кривой 1 соответствует $q_0 = 0,8$, кривой 2 — $q_0 = 1$, кривой 3 — $q_0 = 1,5$, 4 — $q_0 = 2$. Из рис. 2 следует, что с увеличением отношения

спектральных плотностей помехи и шума Q_0 потери в точности оценки (5) возрастают и могут достигать значительной величины. Кроме того, потери в точности оценки τ^* (5) тем больше, чем меньше q_0 .

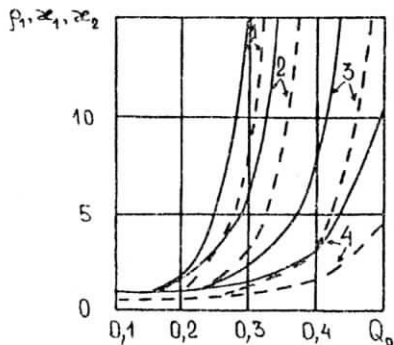


Рис. 2

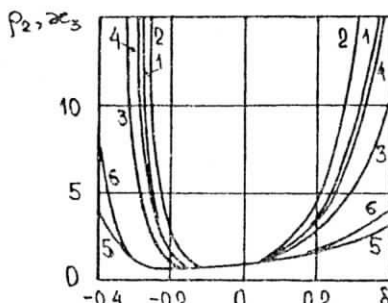


Рис. 3

Повысить точность оценки длительности τ_0 случайного радиосигнала можно, если при синтезе алгоритма оценки по методу максимального правдоподобия учесть наличие внешней помехи $v(t)$. С этой целью обозначим $M_1(\tau, \gamma, \Gamma)$ – логарифм функционала отношения правдоподобия (ФОП) для гипотезы $H_2 : x(t) = s(t, \tau_0) + n(t) + v(t)$ против альтернативы $H_0 : x(t) = n(t)$. Аналогично, обозначим $M_0(\Gamma)$ – логарифм ФОП для гипотезы $H_1 : x(t) = n(t) + v(t)$ против альтернативы H_0 . Тогда, используя результаты [9], получаем, что при неизвестной интенсивности сигнала обобщенное отношение правдоподобия имеет вид

$$L_2(\tau, \Gamma_0, N_0) = \sup_{\gamma} M_1(\tau, \gamma, \Gamma_0) - M_0(\Gamma_0) = \frac{1}{N_0 + \Gamma_0} \int_0^\tau y_s^2(t) dt - \frac{\tau \Omega_s}{2\pi} \left\{ 1 + \ln \left[\frac{2\pi}{\tau \Omega_s (N_0 + \Gamma_0)} \int_0^\tau y_s^2(t) dt \right] \right\}. \quad (18)$$

Если величина Γ_0 спектра мощности (3) помехи $v(t)$ априори известна, то оценка максимального правдоподобия (ОМП) $\hat{\tau}$ длительности находится как

$$\hat{\tau} = \arg \sup_{\tau} L_2(\tau, \Gamma_0, N_0), \quad \tau \in [T_1; T_2]. \quad (19)$$

Положим вначале, что величина Γ_0 спектра мощности (3) априори неизвестна, но можно указать некоторое приближенное ожидаемое (прогнозируемое) значение $\tilde{\Gamma}$. Кроме того, будем считать, что спектральная плотность N_0 белого шума $n(t)$ также известна неточно, т. е. вместо истинного значения N_0 при синтезе измерителя используется некоторое ожидаемое значение \tilde{N} , в общем случае не равное N_0 . Тогда, заменяя в (18), (19) неизвестные значения Γ_0 и N_0 на ожидаемые значения $\tilde{\Gamma}$ и \tilde{N} , получаем оценку

$$\tilde{\tau} = \arg \sup_{\tau} L_2(\tau, \tilde{\Gamma}, \tilde{N}), \quad \tau \in [T_1; T_2]. \quad (20)$$

Оценку (20), в отличие от ОМП (19), назовем квазиправдоподобной оценкой (КПО). Действительно, при $\tilde{\Gamma} = \Gamma_0$ и $\tilde{N} = N_0$ КПО (20) переходит в ОМП (19).

Рассмотрим влияние отклонения ожидаемых значений $\tilde{\Gamma}$ и \tilde{N} от истинных величин Γ_0 и N_0 спектральных плотностей помехи и шума на характеристики КПО (20). Выражение для $L_2(\tau, \tilde{\Gamma}, \tilde{N})$ (18) может быть представлено в виде, аналогичном (9), где вместо функции $J_s(\tau)$ (6) следует использовать функцию

$$J_s(\tau, \tilde{\Gamma}, \tilde{N}) = 2\pi \int_0^\tau y_s^2(t) dt / (\tilde{N} + \tilde{\Gamma}) \tau \Omega_s. \quad \text{Расчет характеристик оценки } \tilde{\tau}(20)$$

выполним аналогично (9)–(16). Разлагая $L_2(\tau, \tilde{\Gamma}, \tilde{N})$ в ряд по малому параметру $\varepsilon = 1 / \sqrt{\mu_{\min}}$, аналогично (9), имеем

$$L_2(\tau, \tilde{\Gamma}, \tilde{N}) = S_2(\tau, \tilde{\Gamma}, \tilde{N}) + N_2(\tau, \tilde{\Gamma}, \tilde{N}),$$

где

$$\begin{aligned} S_2(\tau, \tilde{\Gamma}, \tilde{N}) &= \langle L_2(\tau, \tilde{\Gamma}, \tilde{N}) \rangle = \tau \Omega_s \{ [q_0 \min(\tau, \tau_0) / \tau - \delta(1 + Q_0)] (1 + Q_0) \times \\ &\times (1 + \delta) - \ln \{ (1 + Q_0 + q_0 \min(\tau, \tau_0) / \tau) / (1 + Q_0) (1 + \delta) \} \} / 2\pi, \\ &\langle N_2(\tau_1, \tilde{\Gamma}, \tilde{N}) N_2(\tau_2, \tilde{\Gamma}, \tilde{N}) \rangle = \Omega_s \{ (1 + Q_0)^2 \min(\tau_1, \tau_2) + \\ &+ (q_0^2 + 2q_0 + 2q_0 Q_0) \min(\tau_1, \tau_2, \tau_0) \} \{ q_0 \min(\tau_1, \tau_0) / \tau_1 \delta(1 + Q_0) \} \times \\ &\times \{ q_0 \min(\tau_2, \tau_0) / \tau_2 - \delta(1 + Q_0) \} (1 + Q_0)^{-2} (1 + \delta)^{-2} \times \\ &\times [1 + q_0 \min(\tau_1, \tau_0) / \tau_1 + Q_0]^{-1} [1 + q_0 \min(\tau_2, \tau_0) / \tau_2 + Q_0]^{-1}, \quad (21) \\ \delta &= (\tilde{N} + \tilde{\Gamma} - N_0 - \Gamma_0) / (N_0 + \Gamma_0). \end{aligned}$$

Для того, чтобы алгоритм КПО (20) был работоспособен, т. е. сигнальная функция (21) достигала максимума при $\tau = \tau_0$, требуется выполнение условия

$$\begin{aligned}\psi_2(q_0) &= \ln [(1 + q_0 + Q_0) / (1 + Q_0) (1 + \delta)] - \\ &- [q_0 - \delta (1 + Q_0)] / (1 + \delta) (1 + q_0 + Q_0) > 0.\end{aligned}$$

Обозначим q_0^* — решение уравнения $\psi_2(q_0^*) = 0$. На рис. 1 штриховыми линиями нанесены зависимости $q_0^*(Q_0)$. Кривая 1 рассчитана для значения $\delta = -0,4, 2$ — $\delta = 0, 3$ — $\delta = 0,4$. Алгоритм (20) работоспособен, если $q_0 > q_0^*$, т. е. значение q_0 лежит в областях над соответствующими кривыми.

Аналогично [8] можно показать, что при $\mu_{\min} \rightarrow \infty$ и выполнении (13) процесс $L_2(\tau, \tilde{\Gamma}, \tilde{N})$ является асимптотически гауссовским локально-марковским процессом с коэффициентами сноса и диффузии вида (14), куда следует подставить

$$\begin{aligned}k_{1s} &= \frac{\Omega_s}{2\pi} \left[\frac{q_0 - \delta (1 + Q_0)}{(1 + Q_0) (1 + \delta)} - \ln \left(\frac{1 + q_0 + Q_0}{(1 + Q_0) (1 + \delta)} \right) \right], \\ k_{2s} &= \frac{\Omega_s}{2\pi} \left[\ln \left(\frac{1 + q_0 + Q_0}{(1 + Q_0) (1 + \delta)} \right) - \frac{q_0 - \delta (1 + Q_0)}{(1 + \sigma) (1 + q_0 + Q_0)} \right], \\ k_{1N} &= \frac{\Omega_s}{2\pi} \left[\frac{q_0 - \delta (1 + Q_0)}{(1 + \delta) (1 + Q_0)} \right]^2, \quad k_{2N} = \frac{\Omega_s}{2\pi} \left[\frac{q_0 - \delta (1 + Q_0)}{(1 + \delta) (1 + q_0 + Q_0)} \right]^2. \quad (22)\end{aligned}$$

Используя метод локально-марковской аппроксимации [1], получаем, что смещение $d(\tilde{\tau}) = \langle \tilde{\tau} - \tau_0 \rangle$ и рассеяние $V(\tilde{\tau}) = \langle (\tilde{\tau} - \tau_0)^2 \rangle$ КПО (20) определяются формулами (16) при подстановке в них

$$\begin{aligned}z_1^2 &= \left\{ 1 - \frac{(1 + Q_0) (1 + \delta)}{q_0 - \delta (1 + Q_0)} \ln \frac{1 + q_0 + Q_0}{(1 + \delta) (1 + Q_0)} \right\}^2, \\ z_2^2 &= \left\{ \frac{(1 + \delta) (1 + q_0 + Q_0)}{q_0 - \delta (1 + Q_0)} \ln \frac{1 + q_0 + Q_0}{(1 + \delta) (1 + Q_0)} - 1 \right\}^2, \\ R &= [1 + q_0 / (1 + Q_0)] \times \\ &\times \left\{ q_0 - \delta (1 + Q_0) + (1 + \delta) (1 + q_0 + Q_0) \ln \frac{1 + q_0 + Q_0}{(1 + \delta) (1 + Q_0)} \right\} \times\end{aligned}$$

$$\times \left\{ q_0 - \delta (1 + Q_0) - (1 + Q_0) (1 + \delta) \ln \frac{1 + q_0 + Q_0}{(1 + \delta) (1 + Q_0)} \right\}^{-1}. \quad (23)$$

При $\tilde{\Gamma} = \Gamma_0$, $\tilde{N} = N_0$ ($\delta = 0$) характеристики КПО (20) $d(\tilde{\tau})$, $V(\tilde{\tau})$ совпадают с соответствующими характеристиками ОМП (19) $d(\hat{\tau})$, $V(\hat{\tau})$.

Формулы (16), (17), (23) позволяют найти выигрыш в точности оценки длительности вследствие учета влияния помехи $v(t)$ (при априори известных Γ_0 и N_0). Для этого введем в рассмотрение отношение $\kappa_1 = V(\tau^*) / V(\hat{\tau})$ рассеяния $V(\tau^*)$ оценки (5) к рассеянию $V(\hat{\tau})$ оценки (19). На рис. 2 штриховыми линиями нанесены зависимости $\kappa_1(Q_0)$, рассчитанные по формулам (16), (17), (23). Кривой 1 соответствует $q_0 = 0,8$, кривой 2 — $q_0 = 1,3$ — $q_0 = 1,5$, 4 — $q_0 = 2$. Согласно рис. 2 измеритель (19) обеспечивает существенный выигрыш в точности оценки длительности по сравнению с измерителем (5), особенно при больших значениях Q_0 и малых значениях q_0 . Однако реализация этого выигрыша не всегда возможна, поскольку спектральные плотности Γ_0 и N_0 помехи $v(t)$ и шума $n(t)$ могут быть априори неизвестны или известны неточно. Охарактеризовать влияние отклонений ожидаемых значений $\tilde{\Gamma}$ и \tilde{N} от их истинных величин Γ_0 и N_0 на точность КПО (20) можно отношением $\rho_2 = V(\tilde{\tau}) / V(\hat{\tau})$. Зависимости $\rho_2(\delta)$ нанесены на рис. 3. Кривая 1 рассчитана для значений $q_0 = 0,8$, $Q_0 = 0$; 2 — $q_0 = 0,8$, $Q_0 = 0,4$; 3 — $q_0 = 1$, $Q_0 = 0$; 4 — $q_0 = 1$, $Q_0 = 0,4$; 5 — $q_0 = 2$, $Q_0 = 0$; 6 — $q_0 = 2$, $Q_0 = 0,4$. Анализ кривых на рис. 3 показывает, что незнание спектральных плотностей внешней помехи и белого шума может привести к существенному снижению точности оценки длительности (20). Выполнение условия $Q_0 = 0$ означает, что внешняя помеха отсутствует. Потери в точности оценки длительности τ_0 случайного радиосигнала при $Q_0 = 0$ обусловлены только отклонением ожидаемого значения \tilde{N} спектральной плотности белого шума от истинного N_0 . Из рис. 3 (кривые 1, 3) следует, что даже при не слишком больших относительных отклонениях \tilde{N} от истинного значения спектральной плотности N_0 белого шума $n(t)$ точность КПО (20) значительно снижается.

Уменьшить потери в точности оценки длительности τ_0 случайного радиосигнала вследствие незнания величины спектральной плотности помехи $v(t)$ можно, используя устройство, реализующее адаптацию по неизвестному параметру Γ . В этом случае ОМП τ_m длительности τ_0 запишется в виде

$$\tau_m = \operatorname{arg\sup}_{\tau} L_3(\tau), \quad \tau \in [T_1, T_2], \quad (24)$$

где

$$L_3(\tau) = \sup_{\gamma, \Gamma} M_1(\tau, \gamma, \Gamma) - \sup_{\Gamma} M_0(\Gamma). \quad (25)$$

В (25), как и ранее, $M_1(\tau, \gamma, \Gamma)$ — логарифм ФОП для гипотезы H_2 против альтернативы H_0 , а $M_0(\Gamma)$ — логарифм ФОП для гипотезы H_1 против альтернативы H_0 . При выполнении (4), используя [8, 9], получаем

$$L_3(\tau) = \tau \Omega_s \ln [(A(\tau) - 1/(kT/\tau - 1)) / 2\pi - \\ - T \Omega_N \ln [(1 - 1/A(\tau)) / (1 - \tau/kT)] / 2\pi. \quad (26)$$

Здесь

$$A(\tau) = \left(\int_0^T y_N^2(t) dt \right) / \left(\int_0^\tau y_s^2(t) dt \right), \quad (27)$$

$k = \Omega_n / \Omega_s$, $y_N(t)$ — отклик фильтра с передаточной функцией $H_N(\omega)$ на реализацию наблюдаемых данных. Причем,

$$|H_N(\omega)|^2 = I[(\Theta_N - \omega) / \Omega_N] + I[(\Theta_N + \omega) / \Omega_N].$$

Из (24), (26), (27) следует, что структура синтезированного алгоритма оценки длительности инвариантна к величинам спектральных плотностей внешней помехи Γ_0 и белого шума N_0 .

Найдем характеристики ОМП τ_m (24). С этой целью представим числитель и знаменатель функции $A(\tau)$ (27) в виде сумм сигнальных и шумовых функций. Это позволяет записать (26) в виде, аналогичном (9). Затем разложим полученное выражение в ряд по малому параметру ε и ограничимся первым ненулевым членом разложения, зависящим от реализации наблюдаемых данных. В результате функционал $L_3(\tau)$ (26) может быть представлен в виде суммы сигнальной $S_3(\tau) = \langle L_3(\tau) \rangle$ и шумовой $N_3(\tau) = L_3(\tau) - \langle L_3(\tau) \rangle$ функций. В условиях высокой апостериорной точности оценки, т. е. при выполнении условия $Z^2 = S_3^2(\tau_0) / \langle N_3^2(\tau_0) \rangle \gg 1$, функционал $L_3(\tau)$ в малой окрестности τ_0 можно аппроксимировать гауссовским локально-марковским процессом [8]. Коэффициенты сноса и диффузии этого процесса совпадают с (14), (22), если в этих формулах положить $\delta = 0$. Следовательно, в условиях высокой апостериорной точности оценки характеристики ОМП (24) при неизвестной величине Γ_0

спектра мощности (3) внешней помехи $v(t)$ совпадают с соответствующими характеристиками ОМП $\hat{\tau}$ (19) при априори известной величине Γ_0 . Таким образом, штриховые линии на рис. 2 показывают также выигрыш $\kappa_2 = V(\tau^*) / V(\tau_m)$ в точности ОМП (24) по сравнению с точностью оценки (5), синтезированной в работе [4]. Соответственно кривые на рис. 3 показывают выигрыш $\kappa_3 = V(\tilde{\tau}) / V(\tau_m)$ в точности ОМП (24) по сравнению с точностью КПО (20). Согласно рис. 2, 3 выигрыш в точности оценки длительности, обеспечиваемый адаптивным измерителем (24), может быть значительным. Следует также отметить, что структура алгоритмов оценки на основе (5) и (19) явно зависит от величины спектральной плотности белого шума. Поэтому их применение требует дополнительной калибровки приемного устройства. В то же время алгоритм оценки (24) свободен от этого недостатка. Поэтому его использование может оказаться целесообразным и в отсутствие внешней помехи, если спектральная плотность белого шума априори неизвестна.

Таким образом, полученные выражения позволяют сделать обоснованный выбор между оценками (5), (19), (20) и (24) в зависимости от имеющейся априорной информации об анализируемом процессе, а также в зависимости от требований, предъявляемых к точности оценок и степени простоты их аппаратурной реализации.

БИБЛИОГРАФИЧЕСКИЙ СПИСОК

1. Трифонов А. П., Шинаков Ю. С. Совместное различение сигналов и оценка их параметров на фоне помех.— М.: Радио и связь, 1986.— 264 с.
2. Кремер И. Я., Владимиров В. И., Карпухин В. И. Модулирующие помехи и прием радиосигналов / Под редакцией И. Я. Кремера.— М.: Сов. радио, 1972.— 480 с.
3. Трифонов А. П., Галун С. А., Парфенов В. И. Оценка длительности случайного гауссовского сигнала // Приборостроение.— 1984.— Т. 27.— № 11.— С. 9—13. (Изв. высш. учеб. заведений).
4. Трифонов А. П., Парфенов В. И. Оценка длительности случайного сигнала с неизвестной мощностью // Приборостроение.— 1986.— Т. 29.— № 7.— С. 7—10. (Изв. высш. учеб. заведений).
5. Палий А. И. Радиоэлектронная борьба.— М.: Воениздат, 1981.— 320 с.
6. Тихонов В. И. Статистическая радиотехника.— М.: Радио и связь, 1982.— 624 с.
7. Куликов Е. И., Трифонов А. П. Оценка параметров сигналов на фоне помех.— М.: Сов. радио, 1978.— 296 с.
8. Трифонов А. П., Нечаев Е. П., Парфенов В. И. Обнаружение стохастических сигналов с неизвестными параметрами.— Воронеж: ВГУ, 1991.— 246 с.
9. Трифонов А. П., Парфенов В. И. Оценка дисперсии случайного сигнала с неизвестной длительностью // Радиоэлектроника.— 1997.— Т. 40.— № 5.— С. 53—61. (Изв. высш. учеб. заведений).

Воронежский госуниверситет.

Поступила в редакцию 12.05.98.